

МИНИСТЕРСТВО ОБРАЗОВАНИЯ РОССИЙСКОЙ ФЕДЕРАЦИИ

МОСКОВСКИЙ ГОСУДАРСТВЕННЫЙ ИНСТИТУТ  
РАДИОТЕХНИКИ. ЭЛЕКТРОНИКИ И АВТОМАТИКИ  
(ТЕХНИЧЕСКИЙ УНИВЕРСИТЕТ)

А.Н. КОВАЛЕНКО    А.Н. ЩЕРБИЦКИЙ

ЭЛЕКТРОДИНАМИКА  
И РАСПРОСТРАНЕНИЕ РАДИОВОЛН

Часть 3  
РАСПРОСТРАНЕНИЕ РАДИОВОЛН

Учебное пособие

МОСКВА 2004

ББК 22.313  
К 56  
УДК 537.874

Рецензенты: д.т.н., проф. В.В.Чебышев  
к.т.н., доц. А.А.Фалуни

К 56 А.Н.Коваленко, А.Н. Щербицкий. Электродинамика и распространение радиоволн. Часть 3. Распространение радиоволн. Учебное пособие / Моск. гос. ин-т радиотехники, электроники и автоматики (технический университет).- М., 2003.- 84 с.

ISBN 5-7339-0187-х

Излагаются содержание, постановка и некоторые методы решения задач дифракции и рефракции электромагнитных волн. Рассматриваются основные факторы, влияющие на распространение радиоволн в природных условиях. Приводится классификация радиоволн по способам их распространения и по частоте, отмечаются основные особенности распространения радиоволн различных диапазонов.

Учебное пособие предназначено для студентов всех форм обучения по специальностям 200700 - Радиотехника, 071500 - Радиофизика, 201600 - Радиоэлектронные системы.

Табл. 1. Ил. 40. Библиогр. – 9 назв.

Печатается по решению редакционно-издательского совета Московского государственного института радиотехники, электроники и автоматики (технического университета).

К  $\frac{1604050000-20}{1К8(03)-99}$  Без объявл.

ББК 22.313

ISBN 5-7339-0187-х

А.Н. Коваленко  
А.Н. Щербицкий, 2003

## ПРЕДИСЛОВИЕ

Настоящее учебное пособие представляет собой третью часть теоретического курса дисциплины “Электродинамика и распространение радиоволн” для специальностей 200700 - Радиотехника, 071500 – Радиофизика и электроника, 201600 - Радиоэлектронные системы и базируется на материале, изложенном в первой и второй частях пособия “Основы теории электромагнитного поля” и “Граничные задачи электродинамики” (издание МИРЭА, 1999 и 2001 г.г.)

В учебном пособии рассмотрены разделы рабочей программы “Дифракция и рефракция электромагнитных волн” и “Радиоволны в природных условиях”.

При написании учебного пособия были использованы материалы лекций, прочитанных авторами на факультете Радиотехнических систем и вечернем Радиотехническом факультете МИРЭА, а также некоторых источников, отраженных в библиографическом списке.

### ЧАСТЬ 3. Распространение радиоволн

#### Глава 7. Дифракция и рефракция электромагнитных волн

##### 7.1. Содержание, постановка и методы решения задач дифракции

Задача возбуждения электромагнитных волн сторонними источниками в свободном пространстве была рассмотрена в первой части курса [1]. Если в пространстве находятся какие-либо материальные объекты, то процесс распространения электромагнитных волн существенно отличается от рассмотренного ранее, и возникает задача о возбуждении этих объектов, т.е. задача отыскания вторичных полей как вне, так и внутри объектов – полей дифракции.

Рассмотрим основные понятия и определения, связанные с явлениями дифракции, а также некоторые методы решения дифракционных задач.

##### 7.1.1. Поля дифракции

При возбуждении какого-либо материального объекта ( а – диэлектрическое тело, б – проводящее тело, в – отверстие в проводящем экране, рис. 7.1.) некоторой падающей на него волной, поля которой ( $\vec{E}^0, \vec{H}^0$ ) полагаются известными, возникают поля дифракции.

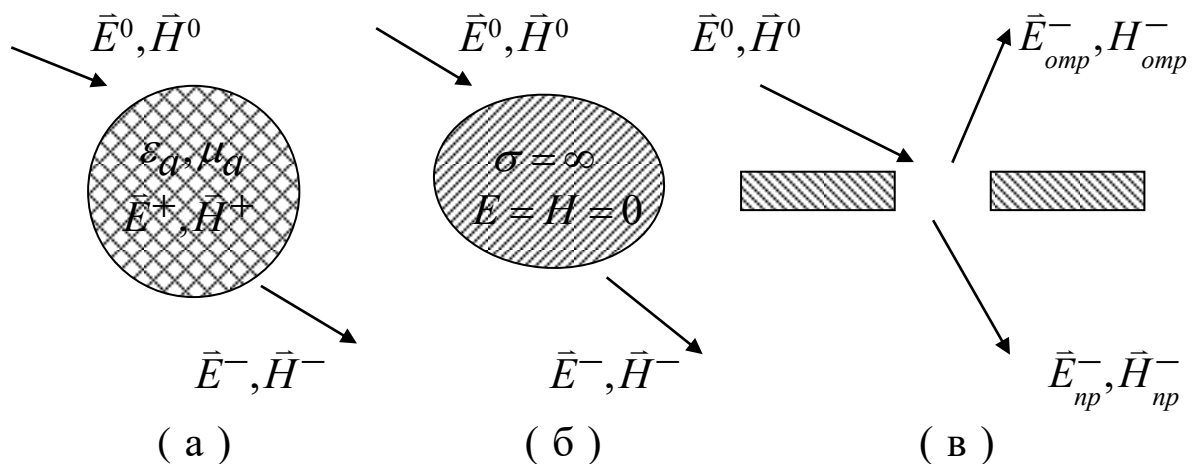


Рис.7.1. Дифракция на различных объектах

Поле внутри диэлектрического тела ( $\vec{E}^+$ ,  $\vec{H}^+$ ) называется внутренним полем дифракции. Вне объектов появляется внешнее поле дифракции ( $\vec{E}^-$ ,  $\vec{H}^-$ ), которое в случаях « а » и « б » можно назвать отраженными, а в случае « в » внешнее поле дифракции складывается из отраженного ( $\vec{E}_{отр}^-$ ,  $\vec{H}_{отр}^-$ ) (над экраном) и прошедшего ( $\vec{E}_{пр}^-$ ,  $\vec{H}_{пр}^-$ ) (под экраном) полей. В общем случае внешнее поле дифракции называется полем рассеяния.

Заметим, что к классу дифракционных задач можно отнести и задачу о возбуждении плоской границы раздела двух сред, подробно рассмотренную во второй части пособия [2].

Для нахождения внешнего и внутреннего полей дифракции необходимо решить соответствующую граничную задачу, т.е. найти решение однородной системы уравнений электродинамики [1], которое удовлетворяет граничным условиям :

на поверхности диэлектрического объекта

$$\begin{aligned} [\vec{v}^0, (\vec{E}^0 + \vec{E}^-)] &= [\vec{v}^0, \vec{E}^+], \\ [\vec{v}^0, (\vec{H}^0 + \vec{H}^-)] &= [\vec{v}^0, \vec{H}^+], \end{aligned} \quad (7.1)$$

на поверхности идеально проводящего объекта

$$[\vec{v}^0, (\vec{E}^0 + \vec{E}^-)] = 0; [\vec{v}^0, (\vec{H}^0 + \vec{H}^-)] = \vec{n}. \quad (7.2)$$

Кроме того внешнее поле дифракции должно удовлетворять условию излучения на бесконечности [1].

### 7.1.2 Методы решения задач дифракции

При решении задач дифракции в большинстве случаев получить строгое решение, т.е. представить в явном виде формулами, в которые входят исходные данные задачи, не удастся. Лишь в некоторых случаях (например, дифракция на шаре, бесконечном цилиндре), можно получить строгое решение задачи и поля представить рядами, в которых коэффициенты разложения определяются непосредственно из граничных условий на поверхности объекта.

Практически интересные для высокочастотной радиотехники, в том числе для радиолокации, дифракционные задачи связаны с объектами сложной геометрической формы.

Для решения таких задач существуют и развиваются универсальные приближенные численные методы с использованием интегральных уравнений электродинамики и проекционных методов. Библиография по этим вопросам частично приведена в [3]. На базе этих методов возможно построение алгоритмов и программ для решения сложных дифракционных задач с помощью ЭВМ (в том числе персональных компьютеров).

При отыскании приближенного решения дифракционной задачи обычно используется некоторый малый параметр, в качестве которого можно взять отношение характерного размера объекта  $a$  (например, его длины или периметра) к длине волны  $\lambda$  (или обратной величины  $\lambda/a$ ).

При этом различают три области решения :

1. Квазистационарная область (длинноволновое приближение). При этом малый параметр задачи  $a/\lambda \ll 1$  ( $\lambda \rightarrow \infty$ ) и волновое число  $k = \frac{2\pi}{\lambda} \rightarrow 0$ . Волновое уравнение Гельмгольца преобразуется в уравнение Лапласа, описывающее статические (стационарные) поля.

2. Резонансная область (параметр  $a/\lambda \approx 1$ ) наиболее сложна для исследования. Для решения используются строгие методы (метод собственных функций, метод интегральных уравнений).

3. Квазиоптическая область (коротковолновое приближение). При этом малый параметр задачи  $\lambda/a \ll 1$  ( $\lambda \rightarrow 0$ ).

Чем меньше  $\lambda/a$ , тем более точные результаты в этой области дает геометрическая оптика. Однако, при этом фронт волны и поверхность объекта должны быть локально плоскими.

Квазиоптические методы решения подразделяются на две группы :

1. Асимптотические методы. Они основаны на исследовании точных решений при стремлении  $\lambda \rightarrow 0$ .

2. Эвристические (интуитивные) методы с привлечением некоторых физических идей. Сюда относятся :

А) Лучевые методы – геометрическая оптика и ее уточнения.

Б) Волновые методы – физическая оптика (приближение

Кирхгофа) и ее уточнения.

Рассмотрим применение некоторых методов решения к конкретным задачам дифракции.

## 7.2. Дифракция ПОВ на цилиндре (строгий метод решения)

В общем случае при падении ПОВ ( $\vec{E}^0, \vec{H}^0$ ) на цилиндрический объект возникают внешнее ( $\vec{E}^-, \vec{H}^-$ ) и внутреннее ( $\vec{E}^+, \vec{H}^+$ ) поля дифракции, причем на всей поверхности объекта, включая торцы (если цилиндр конечный), должны выполняться граничные условия (7.1), (7.2). Наиболее просто эти граничные условия записать для объекта в виде бесконечного однородного кругового цилиндра с параметрами  $\varepsilon_{a2}, \mu_{a2}$ , находящегося в среде с параметрами  $\varepsilon_{a1}, \mu_{a1}$ , поверхность которого совпадает в цилиндрической системе координат  $r, \alpha, z$  с координатной поверхностью  $r = a$  (рис.7.2.)

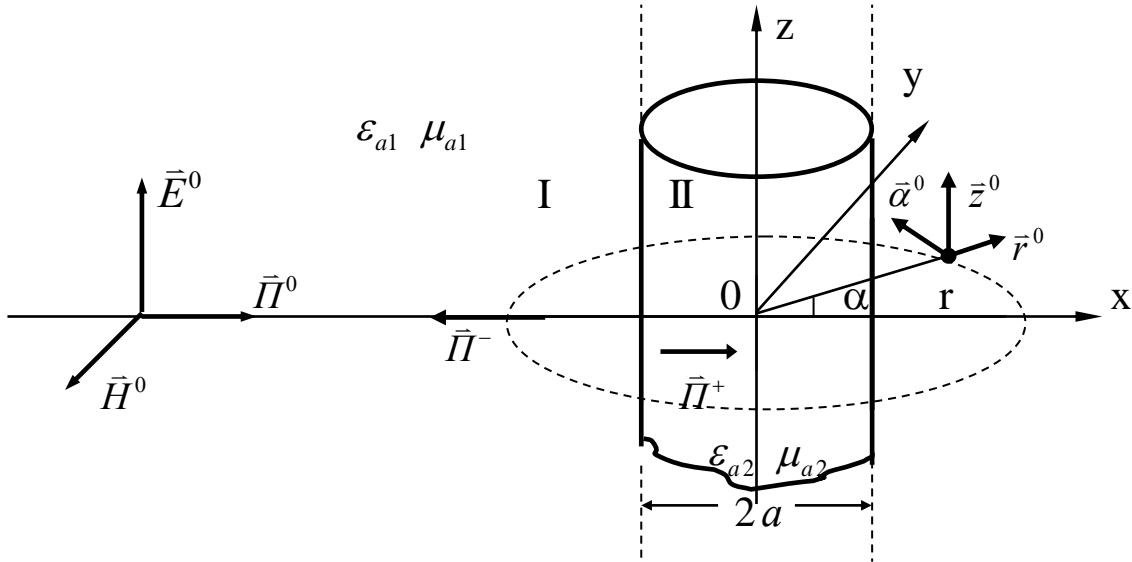


Рис. 7.2 Дифракция ПОВ на цилиндре

Комплексные амплитуды поля ПОВ, поляризованной вдоль оси цилиндра  $z$  и движущейся вдоль координаты  $x$ , представляются в виде:

$$\dot{\vec{E}}_m^0 = \vec{z}^0 \dot{E}_0 e^{-ik_1 x}; \quad \dot{\vec{H}}_m^0 = -\vec{y}^0 \frac{\dot{E}_0}{W_1} e^{-ik_1 x}, \quad (7.3)$$

где  $W_1 = \sqrt{\mu_{a1}/\varepsilon_{a1}}$  - волновое сопротивление пространства I.

Для удовлетворения граничным условиям на поверхности цилиндра внешние и внутренние поля дифракции должны быть однородными по оси  $z$ . Однородные волновые уравнения Гельмгольца для составляющих  $\dot{E}_{mz}^{\pm}$  этих полей в цилиндрической системе координат имеет вид :

$$\frac{\partial^2 \dot{E}_{mz}^{\pm}}{\partial r^2} + \frac{1}{r} \frac{\partial \dot{E}_{mz}^{\pm}}{\partial r} + \frac{1}{r^2} \frac{\partial^2 \dot{E}_{mz}^{\pm}}{\partial \alpha^2} + k_j^2 \dot{E}_{mz}^{\pm} = 0, \quad (7.4)$$

где индекс  $j = \begin{cases} 1, & r > a \\ 2, & r < a \end{cases}$ .

Поля дифракции периодичны по координате  $\alpha$  ( $0 \div 2\pi$ ), поэтому их можно представить в виде рядов Фурье по системе функций  $e^{in\alpha}$  :

$$\dot{E}_m^- = \bar{z}^0 \sum_{n=-\infty}^{n=\infty} a_n R^-(r) e^{in\alpha} \quad (7.5)$$

$$\dot{E}_m^+ = \bar{z}^0 \sum_{n=-\infty}^{n=\infty} b_n R^+(r) e^{in\alpha} \quad (7.6)$$

где  $R^{\pm}(r)$  - неизвестные функции распределения полей по координате  $r$ ,

$a_n, b_n$  - неизвестные амплитудные коэффициенты,  
 $n = 0, \pm 1, \pm 2, \dots$

Подставляя (7.5), (7.6) в (7.4), получаем уравнение Бесселя относительно функции  $R^{\pm}(r)$  :

$$\frac{d^2 R^{\pm}}{dr^2} + \frac{1}{r} \frac{dR^{\pm}}{dr} + \left( k_j^2 - \frac{n^2}{r^2} \right) R^{\pm} = 0 \quad (7.7)$$

Его решением являются цилиндрические функции  $n$ -ого порядка :  
 $J_n(k_j r)$  - функция Бесселя ;  $N_n(k_j r)$  - функция Неймана.

Линейные комбинации этих функций также представляют решения уравнения Бесселя :

функция Ханкеля 1-го рода -  $H_n^{(1)}(k_j r) = J_n(k_j r) + iN_n(k_j r)$ , (7.8)

функция Ханкеля 2-го рода -  $H_n^{(2)}(k_j r) = J_n(k_j r) - iN_n(k_j r)$ . (7.9)

Внутреннее поле дифракции должно быть конечным, поэтому в его представлении (7.6) в качестве  $R^+(r)$  нужно использовать конечные в начале координат функции Бесселя  $J_n(k_2 r)$ .

Внешнее поле дифракции (7.5) необходимо представлять через функцию Ханкеля 2-го рода  $H_n^{(2)}(k_1 r)$ , которая при  $r \rightarrow \infty$  описывает расходящуюся волну, удовлетворяющую условию излучения на бесконечности [3].

Экспоненту  $e^{-ik_1 x} = e^{-ik_1 r \cos \alpha}$ , входящую в выражения (7.3) для поля падающей ПОВ, также можно представить в виде ряда Фурье по системе функций  $e^{in\alpha}$ :

$$e^{-ik_1 r \cos \alpha} = \sum_{n=-\infty}^{n=\infty} (-i)^n J_n(k_1 r) e^{in\alpha}, \quad (7.10)$$

где  $(-i)^n J_n(k_1 r) = \frac{1}{2\pi} \int_{-\pi}^{\pi} e^{-ik_1 r \cos \alpha} e^{-in\alpha} d\alpha$  - коэффициенты

разложения Фурье.

При этом поле падающей ПОВ записывается в форме, аналогичной (7.5), (7.6):

$$\dot{E}_m^0 = \bar{z}^0 \dot{E}_0 \sum_{n=-\infty}^{n=\infty} (-i)^n J_n(k_1 r) e^{in\alpha}, \quad (7.11)$$

и его можно трактовать как бесконечную сумму так называемых цилиндрических гармоник, каждая из которых удовлетворяет однородному волновому уравнению Гельмгольца.

Неизвестные амплитудные коэффициенты гармоник внешнего и внутреннего полей дифракции  $a_n$  и  $b_n$  определяются из граничных условий (7.1), которые для электрического поля можно записать в виде:

$$\dot{E}_{mz}^0 + \dot{E}_{mz}^- = \dot{E}_{mz}^+ \quad \text{при } r = a, \quad (7.12)$$

откуда получаем :

$$(-i)^n \dot{E}_0 J_n(k_1 a) + a_n H_n^{(2)}(k_1 a) = b_n J_n(k_2 a). \quad (7.13)$$

Из второго уравнения Максвелла  $rot \dot{\vec{E}}_m = -i\omega\mu_j \dot{\vec{H}}_m$   
в цилиндрической системе координат находим :

$$\dot{H}_{m\alpha} = -\frac{i}{W_j} \frac{\partial \dot{E}_{mz}}{\partial(k_j r)}, \quad (7.14)$$

где  $W_j = \sqrt{\mu_{aj}/\epsilon_{aj}}$  - волновое сопротивление среды..

Граничное условие для магнитного поля можно записать в виде :

$$\dot{H}_{m\alpha}^0 + \dot{H}_{m\alpha}^- = \dot{H}_{m\alpha}^+ \quad \text{при } r = a, \quad (7.15)$$

откуда с учетом (7.14) получаем :

$$\frac{(-i)^n \dot{E}_0 J_n'(k_1 a) + a_n H_n^{(2)'}(k_1 a)}{W_1} = \frac{b_n J_n'(k_2 a)}{W_2}, \quad (7.16)$$

где штрих означает производную по полному аргументу.

Решая совместно (7.13) и (7.16), находим :

$$a_n = (-i)^n \dot{E}_0 \frac{W_1 J_n(k_1 a) J_n'(k_2 a) - W_2 J_n'(k_1 a) J_n(k_2 a)}{-W_1 H_n^{(2)}(k_1 a) J_n'(k_2 a) + W_2 H_n^{(2)'}(k_1 a) J_n(k_2 a)}, \quad (7.17)$$

$$b_n = (-i)^n \dot{E}_0 \frac{-W_2 [H_n^{(2)}(k_1 a) J_n'(k_1 a) - H_n^{(2)'}(k_1 a) J_n(k_1 a)]}{-W_1 H_n^{(2)}(k_1 a) J_n'(k_2 a) + W_2 H_n^{(2)'}(k_1 a) J_n(k_2 a)}. \quad (7.18)$$

Подставляя (7.17), (7.18) в (7.5), (7.6), находим выражения для электрических полей дифракции, а с помощью второго уравнения Максвелла находим магнитные поля дифракции. Таким образом, строгое решение поставленной задачи получено.

В частном случае дифракции ПОВ на идеально проводящем цилиндре ( $\sigma = \infty$ ), для которого  $W_2 = 0$ , из (7.18) следует, что  $b_n = 0$ ,

т.е. внутреннее поле дифракции отсутствует (электромагнитное поле в идеальном проводнике не проникает).

Из (7.17) в этом случае получаем :

$$a_n = -(-i)^n \dot{E}_0 \frac{J_n(k_1 a)}{H_n^{(2)}(k_1 a)}, \quad (7.19)$$

при этом суммарное поле вне цилиндра на конечном расстоянии  $r$  определяется выражением:

$$\dot{E}_m = \dot{E}_m^0 + \dot{E}_m^- = \dot{z}^0 \dot{E}_0 \sum_{n=-\infty}^{n=\infty} (-i)^n \left[ J_n(k_1 r) - \frac{J_n(k_1 a)}{H_n^{(2)}(k_1 a)} H_n^{(2)}(k_1 r) \right] e^{in\alpha}. \quad (7.20)$$

Суммарное магнитное поле определяется с помощью второго уравнения Максвелла. Отметим, что при практических расчетах поля по формуле (7.20) для получения точности  $\sim 1\%$  необходимо учитывать  $(2k_1 a)$  членов ряда.

### 7.2.1. Поле элементарного электрического излучателя, расположенного вблизи цилиндра

В общем случае решение задачи чрезвычайно громоздко. Поэтому рассмотрим частный случай, когда элементарный электрический излучатель (ЭЭИ) с моментом  $\dot{P}_m^{cm} = \dot{I}_m^{cm} \vec{l}$  расположен вблизи идеально проводящего цилиндра в т.  $Q$  параллельно его оси, и требуется найти поле на большом расстоянии  $r$  от цилиндра (в дальней зоне ЭЭИ) в т.  $P$  (рис.7.3.).

Решение этой задачи можно получить автоматически, воспользовавшись результатами, приведенными выше в разделе 7.2, и принципом взаимности [1].

Действительно, можно полагать, что источником ПОВ с составляющими поля (7.3) является ЭЭИ с моментом  $\dot{P}_m^{cm} = \dot{I}_m^{cm} \vec{l}$ , расположенный на очень большом расстоянии  $r'$  от оси цилиндра (рис. 7.4.) в т.  $Q'$ .

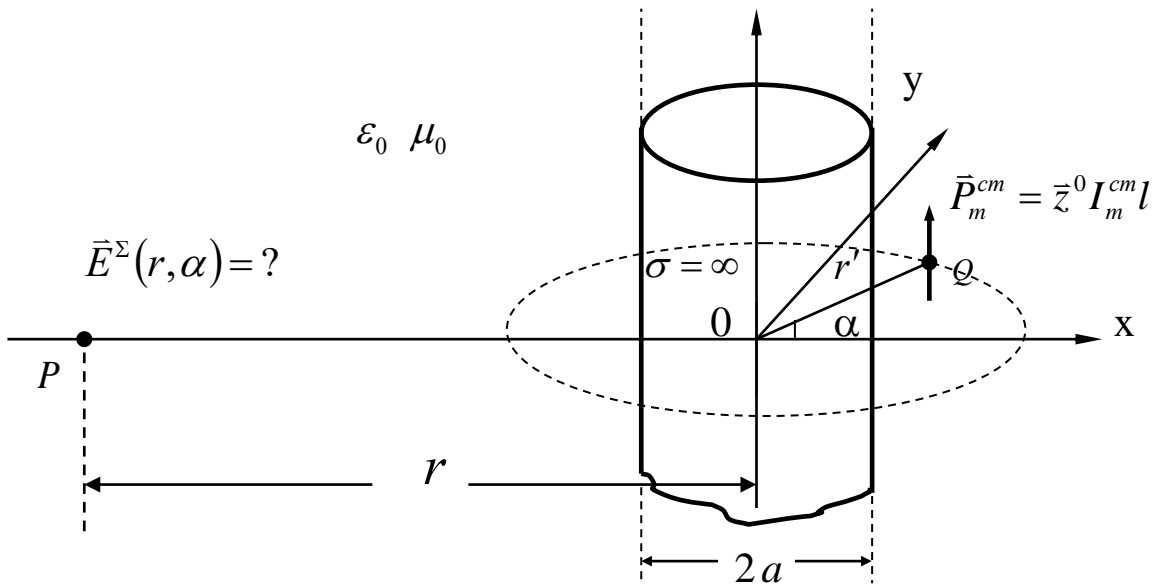


Рис. 7.3 Система “Э.Э.И. - цилиндр”

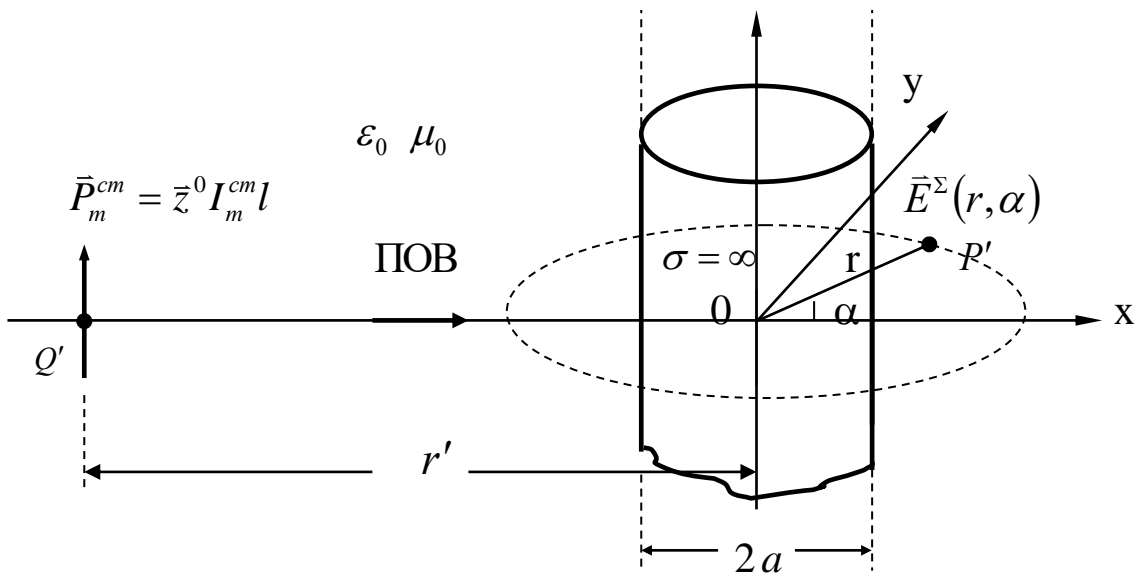


Рис. 7.4 Дифракция ПОВ на цилиндре

При этом комплексный амплитудный множитель  $\dot{E}_0$  соответствует комплексной амплитуде поля ЭЭИ в дальней зоне при  $\theta = 90^0$  [1]:

$$\dot{E}_0 = i \frac{I_m^{cm} k_0 l}{4\pi} W_0 \frac{e^{-ik_0 r'}}{r'}, \quad (7.21)$$

а поле  $\dot{E}_m^\Sigma(r, \alpha)$  в т.  $P'$  определяется выражением (7.20).

На основании принципа взаимности поле в т.Р системы “ЭЭИ-цилиндр” (рис. 7.3.) определяется выражениями (7.21), (7.20) при замене  $r \leftrightarrow r'$ . В итоге получаем:

$$\begin{aligned} \dot{\vec{E}}_m^\Sigma(r, \alpha) = & \bar{z}^0 i \frac{\dot{I}_m^{cm} k_0 l}{4\pi} W_0 \frac{e^{-ik_0 r}}{r} \times \\ & \times \sum_{n=-\infty}^{n=\infty} (-i)^n \left[ J_n(k_0 r') - \frac{J_n(k_0 a)}{H_n^{(2)}(k_0 a)} H_n^{(2)}(k_0 r') \right] e^{in\alpha}. \end{aligned} \quad (7.22)$$

На основании метода зеркальных изображений и из формулы (7.22) следует, что если ЭЭИ положить на поверхность цилиндра ( $r' = a$ ), то он излучать не будет:

$$\dot{\vec{E}}_m^\Sigma(r, \alpha) = 0.$$

### 7.3. Метод физической оптики (приближение Кирхгофа)

Метод используется при решении задач дифракции на проводящих объектах ограниченного объема (или поперечного сечения), а также на отверстиях в проводящих экранах (рис. 7.5)

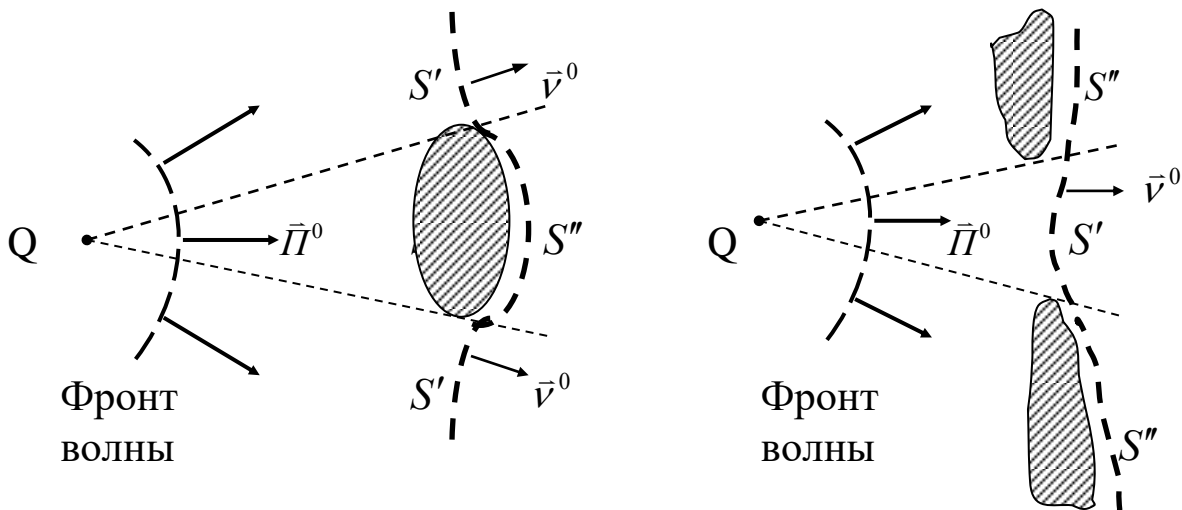


Рис. 7.5 Дифракция на проводящих объектах (приближение Кирхгофа)

Поверхность  $S = S' + S''$  либо окружает источник, либо “сверху” и “снизу” от объекта уходит на  $\infty$ . При этом, в соответствии с методом

геометрической оптики,  $S'$  является “освещенной”, а  $S''$  - “теневой” частями поверхности  $S$ .

Физический смысл метода состоит в предположении, что источниками поля вне (справа) поверхности  $S$  являются эквивалентные источники, расположенные на освещенной части  $S'$  и адекватные неискаженному (как в свободном пространстве) первичному полю падающей волны, а на теневой части  $S''$  они равны нулю.

Таким образом,

$$\dot{\vec{E}}_m^S = \begin{cases} \dot{\vec{E}}_m^0 & \text{на } S' \\ 0 & \text{на } S'' \end{cases}; \quad \dot{\vec{H}}_m^S = \begin{cases} \dot{\vec{H}}_m^0 & \text{на } S' \\ 0 & \text{на } S'' \end{cases}, \quad (7.23)$$

и, в соответствии с принципом эквивалентности [1],

$$\dot{\vec{\eta}}_m^{\text{экв.э}} \Big|_{S'} = [\vec{V}^0 \dot{\vec{H}}_m^0] \Big|_{S'}; \quad \dot{\vec{\eta}}_m^{\text{экв.м}} \Big|_{S'} = -[\vec{V}^0 \dot{\vec{E}}_m^0] \Big|_{S'} \quad (7.24)$$

$$\dot{\vec{\eta}}_m^{\text{экв.э}} \Big|_{S''} = \dot{\vec{\eta}}_m^{\text{экв.м}} \Big|_{S''} = 0 \quad (7.25)$$

Далее решаются “электрическая” и “магнитная” задачи возбуждения источниками (7.24), и искомое поле определяется соотношениями:

$$\dot{\vec{E}}_m = \dot{\vec{E}}_m^{\text{э}} + \dot{\vec{E}}_m^{\text{м}}; \quad \dot{\vec{H}}_m = \dot{\vec{H}}_m^{\text{э}} + \dot{\vec{H}}_m^{\text{м}}$$

Следует отметить, что приближение Кирхгофа широко используется в теории антенн, излучающих из раскрыва (рупорные, зеркальные).

### 7.3.1. Дифракция ПОВ на отверстии в экране

Рассмотрим нормальное падение ПОВ из полупространства  $z < 0$  на проводящий экран  $S$  с отверстием произвольной формы  $S_0$  (рис.7.6).

Падающая ПОВ имеет составляющие:

$$\dot{\vec{E}}_m^0 = \bar{x}^0 \dot{E}_0 e^{-ik_0 z}, \quad \dot{\vec{H}}_m^0 = \bar{y}^0 \frac{\dot{E}_0}{W_0} e^{-ik_0 z}. \quad (7.26)$$

Ограничиваясь исследованием внешнего поля дифракции лишь в полупространстве  $z > 0$  за экраном  $(\bar{E}_{np}^-, \bar{H}_{np}^-)$ , в приближении Кирхгофа считаем, что на теневой стороне экрана, обращенной в это полупространство, поля равны нулю  $(\dot{\vec{E}}_m^S = 0, \dot{\vec{H}}_m^S = 0)$ , а в раскрыве отверстия  $S_0$  равны

неискаженному полю падающей ПОВ :

$$\dot{\vec{E}}_m^{S_0} = \dot{\vec{E}}_m^0 \Big|_{z=0} = \bar{x}^0 \dot{E}_0; \quad \dot{\vec{H}}_m^{S_0} = \dot{\vec{H}}_m^0 \Big|_{z=0} = \bar{y}^0 \frac{\dot{E}_0}{W_0}. \quad (7.27)$$

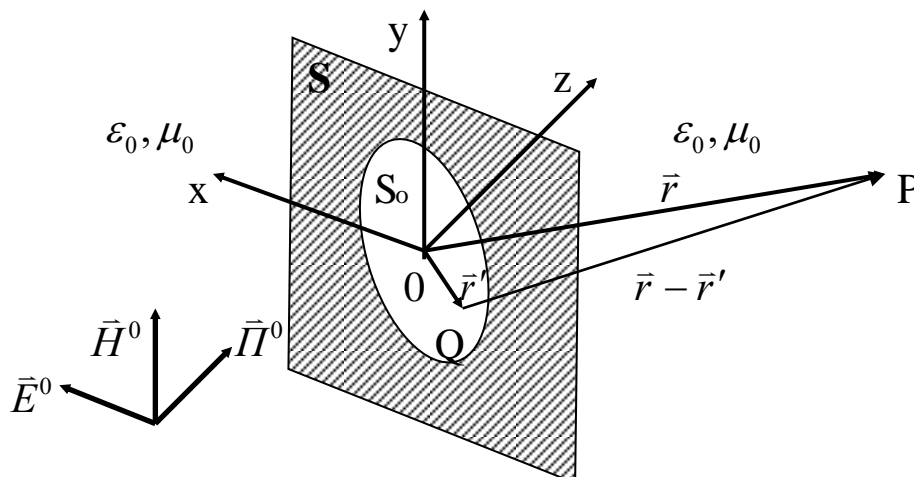


Рис. 7.6. Падение ПОВ на отверстие в экране

Можно считать, что эти поля (или соответствующие им эквивалентные поверхностные токи) в каждой точке  $Q(x', y', 0)$  отверстия  $S_0$  образуют источник излучения в пространство  $z > 0$  в виде элемента Гюйгенса, и, таким образом, внешнее поле дифракции в произвольной точке наблюдения  $P(x, y, z)$  определяются суммарным излучением всех элементов Гюйгенса, находящихся в раскрытие отверстия  $S_0$ .

В сферической системе координат  $r, \theta, \alpha$  электрическое поле каждого элемента Гюйгенса, занимающего элемент поверхности раскрытия отверстия  $dS'$ , в дальней зоне ( $|\vec{r} - \vec{r}'| \gg \lambda$ ) определяется выражением [1]:

$$d\dot{\vec{E}}_m = i \frac{\bar{E}_0 k_0}{4\pi} (1 + \cos \theta) (\bar{\theta}^0 \cos \alpha - \bar{\alpha}^0 \sin \alpha) \frac{e^{-ik_0 |\vec{r} - \vec{r}'|}}{|\vec{r} - \vec{r}'|} dS'. \quad (7.28)$$

Так как на практике размеры отверстия много меньше расстояния до точек дальней зоны, то из всех этих точек отверстие  $S_0$  видно практически под нулевым углом, а любой элемент Гюйгенса, находящийся в отверстии, дает одинаковую зависимость поля от координат  $\theta$  и  $\alpha$ . Поэтому при определении суммарного поля в точке наблюдения интегрированием выраже -

ния (7.28) по площади отверстия  $S_0$  из-под знака интеграла можно вынести функции координат  $\theta$  и  $\alpha$ . В итоге получаем:

$$\dot{\vec{E}}_{mnp}^- = \int_{S_0} d\dot{\vec{E}}_m = i \frac{\dot{E}_0 k_0}{4\pi} (1 + \cos \theta) (\bar{\theta}^0 \cos \alpha - \bar{\alpha}^0 \sin \alpha) \Phi, \quad (7.29)$$

где

$$\Phi = \int_{S_0} \frac{e^{-ik_0|\vec{r}-\vec{r}'|}}{|\vec{r}-\vec{r}'|} dS' \quad (7.30)$$

Расстояние элемента Гюйгенса, находящегося в точке  $Q(x', y', 0)$ , до точки наблюдения  $P(x, y, z)$  определяется выражением:

$$\begin{aligned} |\vec{r}-\vec{r}'| &= \sqrt{(x-x')^2 + (y-y')^2 + z^2} = \\ &= r \sqrt{1 - \frac{2(xx' + yy')}{r^2} + \frac{(x')^2 + (y')^2}{r^2}}, \end{aligned} \quad (7.31)$$

где  $r^2 = x^2 + y^2 + z^2$  - расстояние от начала координат до точки наблюдения.

С учетом соотношений  $r \gg x', r \gg y'$ , разлагая  $|\vec{r}-\vec{r}'|$  в степенной ряд и оставляя в разложении первые три слагаемых, получаем:

$$|\vec{r}-\vec{r}'| \approx r - \frac{xx' + yy'}{r} + \frac{(x')^2 + (y')^2}{2r}. \quad (7.32)$$

Если расстояние  $r$  настолько велико, что при вычислении  $\Phi$  (7.30) слагаемое  $\frac{(x')^2 + (y')^2}{2r}$  в выражении (7.32) практически не влияет на фазу  $\Phi$  и им можно пренебречь, то, как говорят, имеет место дифракция Фраунгофера.

При этом слагаемое  $\frac{xx' + yy'}{r} \ll r$ , и в знаменателе подынтегрального выражения (7.30), влияющем на амплитуду поля элемента Гюйгенса, можно положить  $|\vec{r}-\vec{r}'| = r = const$  и вынести из-под знака интеграла. В показателе экспоненты такое допущение не корректно, так как фаза подынтегрального выражения может существенно меняться от точки к точке в раскрытие отверстия (особенно, когда размеры отверстия соизмеримы или больше длины волны  $\lambda$ ).

С учетом сказанного выражение (7.30) принимает вид :

$$\Phi = \frac{e^{-ik_0 r}}{r} \int_{S_0} e^{ik_0 \frac{xx' + yy'}{r}} dS' . \quad (7.33a)$$

Рассмотрим прямоугольное отверстие в экране размером  $a \times b$  (рис.7.7.).

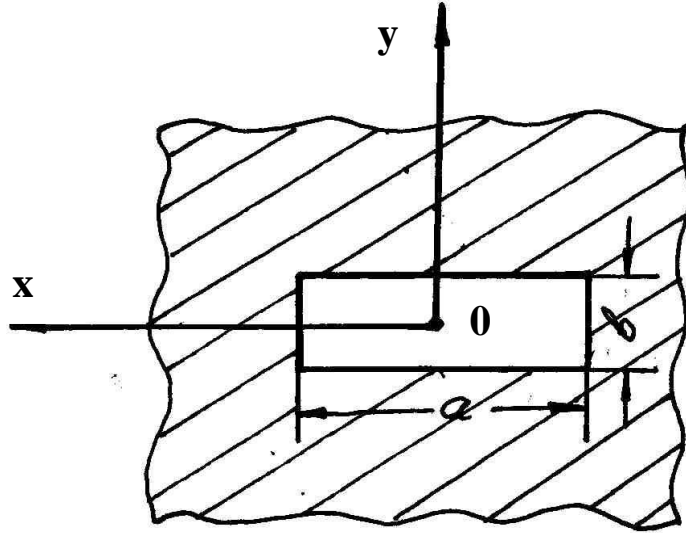


Рис. 7.7. Прямоугольное отверстие в экране

Используя формулу Эйлера  $\sin \gamma = \frac{e^{i\gamma} - e^{-i\gamma}}{2i}$ , в результате интегрирования получаем :

$$\Phi = ab \frac{e^{-ik_0 r}}{r} \frac{\sin U}{U} \frac{\sin V}{V} , \quad (7.33b)$$

где

$$U = \frac{k_0 a}{2r} x, \quad V = \frac{k_0 b}{2r} y . \quad (7.34)$$

Переходя к сферическим координатам  $r, \theta, \alpha$  (рис. 7.8.) и используя соотношения

$$x = r \sin \theta \cos \alpha; \quad y = r \sin \theta \sin \alpha, \quad (7.35)$$

преобразуем (7.34) :

$$U = \frac{k_0 a}{2} \sin \theta \cos \alpha, \quad V = \frac{k_0 b}{2} \sin \theta \sin \alpha . \quad (7.36)$$

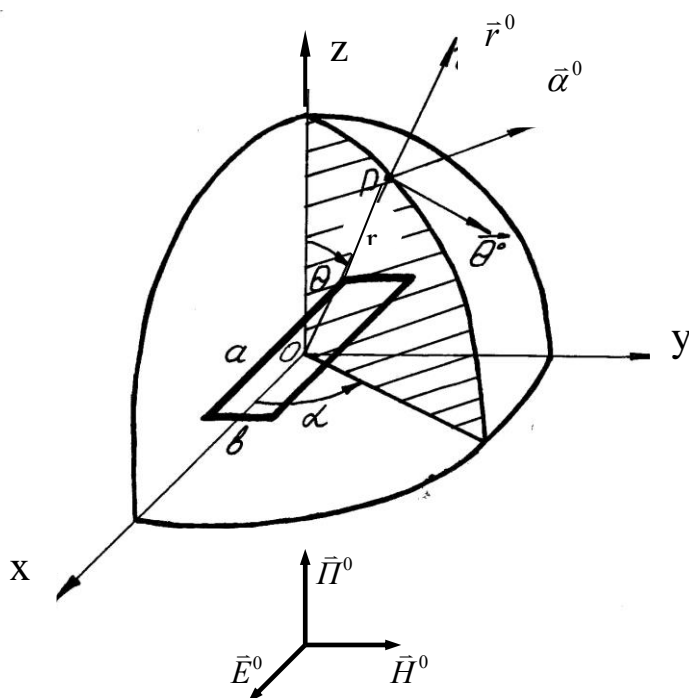


Рис. 7.8. Прямоугольное отверстие в сферической системе координат

При этом выражение для поля (7.29) принимает вид:

$$\dot{\vec{E}}_{mnp}^- = i \frac{\dot{E}_0 k_0 ab}{4\pi} \frac{e^{-ik_0 r}}{r} (1 + \cos \theta) (\bar{\theta}^0 \cos \alpha - \bar{\alpha}^0 \sin \alpha) \frac{\sin U}{U} \frac{\sin V}{V}. \quad (7.37)$$

Полученное выражение показывает, что внешнее поле дифракции в дальней зоне представляет собой сферическую (локально плоскую) неоднородную волну.

Магнитное поле определяется известным соотношением [1]:

$$\dot{\vec{H}}_{mnp}^- = \frac{1}{W_0} \left[ \vec{r}^0, \dot{\vec{E}}_{mnp}^- \right],$$

которое, с учетом (7.37) и  $[\vec{r}^0 (\bar{\theta}^0 \cos \alpha - \bar{\alpha}^0 \sin \alpha)] = \bar{\theta}^0 \sin \alpha + \bar{\alpha}^0 \cos \alpha$ , принимает вид:

$$\dot{\vec{H}}_{mnp}^- = i \frac{\dot{E}_0 k_0 ab}{4\pi W_0} \frac{e^{-ik_0 r}}{r} (1 + \cos \theta) (\bar{\theta}^0 \sin \alpha + \bar{\alpha}^0 \cos \alpha) \frac{\sin U}{U} \frac{\sin V}{V}. \quad (7.38)$$

### 7.3.2. Анализ поля дифракции Фраунгофера

Напомним, что в дальней зоне зависимость модуля напряженности

поля какого-либо источника от направления в точку наблюдения, т.е. от углов  $\theta$  и  $\alpha$ , называется диаграммой направленности данного источника излучения. При исследовании диаграммы направленности обычно делается нормировка по максимальному значению поля.

Диаграмму направленности прямоугольного отверстия в экране удобно рассматривать в двух плоскостях:

1. при  $\alpha = 0$  ( $E$  - плоскость) – для составляющей  $E_{m\theta}^-$ ,
2. при  $\alpha = 90^\circ$  ( $H$  - плоскость) – для составляющей  $E_{m\alpha}^-$ .

В первом случае легко показать, что

$$\frac{\sin V}{V} \Big|_{\alpha=0} = \frac{\sin\left(\frac{k_0 b}{2} \sin \theta \sin \alpha\right)}{\frac{k_0 b}{2} \sin \theta \sin \alpha} \Big|_{\alpha=0} = 1,$$

и нормированная диаграмма направленности с учетом, что  $E_{m\theta\max}^- = E_{m\theta}^- \Big|_{\theta=0}$ , описывается выражением:

$$F^E(\theta) = \frac{|E_{m\theta}^-|}{|E_{m\theta\max}^-|} = \frac{1 + \cos \theta}{2} \left| \frac{\sin\left(\frac{k_0 a}{2} \sin \theta\right)}{\frac{k_0 a}{2} \sin \theta} \right| \quad (7.39)$$

Аналогично во втором случае имеем:  $\frac{\sin U}{U} \Big|_{\alpha=90^\circ} = 1,$

$$E_{m\alpha\max}^- = E_{m\alpha}^- \Big|_{\theta=0},$$

и нормированная диаграмма направленности описывается выражением:

$$F^H(\theta) = \frac{|E_{m\alpha}^-|}{|E_{m\alpha\max}^-|} = \frac{1 + \cos \theta}{2} \left| \frac{\sin\left(\frac{k_0 b}{2} \sin \theta\right)}{\frac{k_0 b}{2} \sin \theta} \right|. \quad (7.40)$$

В формулах (7.39), (7.40) первый множитель представляет собой нормированную диаграмму направленности элемента Гюйгенса, а второй учитывает распределение элементов Гюйгенса в отверстии по координатам  $x$  и  $y$ , соответственно, и называется интерференционным множителем.

Диаграмма направленности имеет многолепестковую структуру с главным максимумом излучения в направлении  $\theta = 0$ .

В частном случае, когда размеры отверстия велики по сравнению с длиной волны ( $a \gg \lambda, b \gg \lambda$ ), в области малых углов  $\theta$  ( $\cos \theta \approx 1$ ) первые множители в формулах (7.39), (7.40)  $(1 + \cos \theta)/2 \approx 1$ , и диаграмму направленности фактически определяют интерференционные множители. Поэтому можно полагать, что :

$$F^E(\theta) = \left| \frac{\sin\left(\frac{k_0 a}{2} \sin \theta\right)}{\frac{k_0 a}{2} \sin \theta} \right|, \quad (7.41)$$

$$F^H(\theta) = \left| \frac{\sin\left(\frac{k_0 b}{2} \sin \theta\right)}{\frac{k_0 b}{2} \sin \theta} \right|. \quad (7.42)$$

Графически функция  $\left| \frac{\sin x}{x} \right|$  представлена на рис. 7.9а., а соответствующая ей диаграмма направленности в полярной системе координат - на рис. 7.9б.

Определим ширину главного лепестка диаграммы направленности в  $E$ -плоскости  $2\theta_0^E$  как угол между ближайшими направлениями  $\theta_1$  и  $\theta_2$ , в которых излучение отсутствует.

Из рис.7.9а следует, что нулевому уровню главного лепестка диаграммы направленности в направлении  $\theta_1$  (рис.7.9 б.) соответствует первый корень функции  $\sin x / x$ . При этом, с учетом (7.41), угол  $\theta_0^E$  определяется из следующего уравнения :

$$\frac{k_0 a}{2} \sin \theta_0^E = \pi. \quad (7.43)$$

Отсюда получаем:  $\sin \theta_0^E = \frac{\lambda}{a}$ , а  $\theta_0^E = \arcsin \frac{\lambda}{a}$ .

Для отверстия, у которого  $a \gg \lambda$ , можно считать, что  $\theta_0^E \approx \frac{\lambda}{a}$ , и ширина главного лепестка диаграммы направленности “по нулям” в

$E$  -плоскости определяется выражением :

$$2\theta_0^E \approx \frac{2\lambda}{a} \quad (7.44)$$

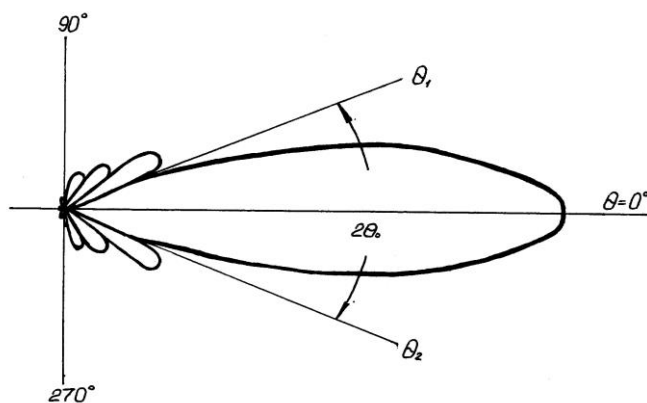
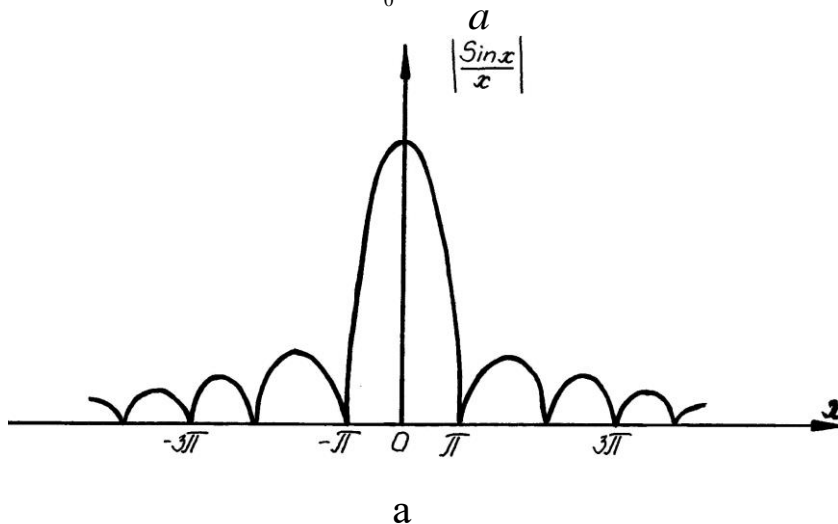


Рис. 7.9. Диаграмма направленности прямоугольного отверстия

Аналогично, если  $b \gg \lambda$ , то ширина главного лепестка диаграммы направленности “по нулям” в  $H$  - плоскости определяется выражением :

$$2\theta_0^H \approx \frac{2\lambda}{b} \quad (7.45)$$

Отметим, что при увеличении размеров отверстия и (или) уменьшении длины волны из (7.44),(7.45) следует, что ширина главного лепестка диаграммы направленности сужается. При этом, если  $\lambda \rightarrow 0$ , то результат  $\theta_0^{E,H} \rightarrow 0$  соответствует приближению геометрической оптики.

## 7.4. Основные понятия геометрической оптики

На весьма высоких частотах, когда производные по времени от функциональных представлений электромагнитного поля волны существенно больше производных по координатам, делается предположение о локально плоском характере поля волны, что приводит к геометрической лучевой трактовке процесса распространения волны.

Эта концепция широко используется при рассмотрении многих задач дифракции, а также задач рефракции - распространения электромагнитных волн в неоднородном пространстве, в том числе таких, как распространение земных, тропосферных и ионосферных волн, о которых пойдет речь в следующей главе.

### 7.4.1. Уравнение эйконала

Предположим, что на большом расстоянии от источников в неоднородной среде с параметрами  $\varepsilon_a = \varepsilon_a(x, y, z)$ ,  $\mu_a = \mu_a(x, y, z)$  распространяется волна, электромагнитное поле которой определяется выражениями:

$$\dot{\vec{E}}_m = \vec{E} \cdot e^{-ik_0L}, \quad \dot{\vec{H}}_m = \vec{H} \cdot e^{-ik_0L}, \quad (7.46)$$

где  $k_0 = \omega\sqrt{\varepsilon_0\mu_0}$  - постоянная распространения в вакууме;

$L = L(x, y, z)$  - некоторая скалярная функция, физический смысл которой рассмотрим ниже;

$\vec{E}$ ,  $\vec{H}$  - вектора, составляющие которых в зависимости от координат изменяются значительно медленнее, чем от времени.

Подставляя эти выражения полей в первое уравнение Максвелла и используя соотношение векторного анализа :

$$\text{rot}(a \cdot \vec{b}) = a \cdot \text{rot} \vec{b} + [\text{grad} a, \vec{b}],$$

получаем:

$$\begin{aligned} \text{rot}(\vec{H}e^{-ik_0L}) &= e^{-ik_0L} \text{rot} \vec{H} + [\text{grad}(e^{-ik_0L}), \vec{H}] = \\ &= e^{-ik_0L} \text{rot} \vec{H} + [-ik_0 e^{-ik_0L} \text{grad} L, \vec{H}] = i\omega\varepsilon_a \vec{E} e^{-ik_0L} \end{aligned}$$

В этом выражении  $k_0$  очень велико, поэтому, пренебрегая первым слагаемым, получаем:

$$\left[ \vec{H}, \text{grad } L \right] = n_\varepsilon^2 \frac{1}{W_0} \vec{E} \quad (7.47)$$

где  $n_\varepsilon = \sqrt{\varepsilon}$ ,  $W_0 = \sqrt{\mu_0/\varepsilon_0}$  - волновое сопротивление вакуума.

Подставляя (7.46) во второе уравнение Максвелла, аналогично предыдущему получаем:

$$\left[ \vec{E}, \text{grad } L \right] = -n_\mu^2 W_0 \vec{H} \quad , \quad (7.48)$$

где  $n_\mu = \sqrt{\mu}$ .

Из выражений (7.47), (7.48) следует, что вектора  $\vec{E}, \vec{H}, \text{grad } L$  образуют правовинтовую ортогональную тройку.

Подставляя  $\vec{E}$  из (7.47) в (7.48), получаем:

$$\left[ \text{grad } L, \left[ \vec{H}, \text{grad } L \right] \right] = n^2 \vec{H} \quad , \quad (7.49)$$

где  $n = n_\varepsilon n_\mu = \sqrt{\varepsilon\mu}$  - коэффициент преломления среды.

Применяя к (7.49) соотношение векторного анализа :

$$\left[ \vec{a}, \left[ \vec{b}, \vec{c} \right] \right] = \vec{b}(\vec{a}\vec{c}) - \vec{c}(\vec{a}\vec{b}) \quad ,$$

с учетом, что  $(\text{grad } L, \vec{H}) = 0$ , получаем так называемое уравнение эйконала  $L$  (от греческого *эйкон* - изображение):

$$(\text{grad } L)^2 = n^2 \quad , \quad (7.50)$$

или

$$\text{grad } L = n \vec{L}^0 \quad , \quad (7.51)$$

где  $\vec{L}^0 = \frac{\text{grad } L}{n}$  - единичный вектор (лучевой орт).

Уравнение эйконала (7.50) в развернутой форме :

$$\left(\frac{\partial L}{\partial x}\right)^2 + \left(\frac{\partial L}{\partial y}\right)^2 + \left(\frac{\partial L}{\partial z}\right)^2 = n^2(x, y, z) \quad (7.52)$$

представляет собой нелинейное дифференциальное уравнение в частных производных первого порядка. Оно является основным соотношением геометрической оптики неоднородных сред.

Вектор Пойнтинга, определяющий направление движения энергии,  $\vec{P} = [\vec{E}, \vec{H}] \sim \text{grad } L = n\vec{L}^0$  показывает, что энергия волны движется вдоль  $\vec{L}^0$ .

Из выражений (7.47), (7.51) вытекает соотношение :

$$\frac{E}{H} = W_0 \frac{n}{n_\varepsilon^2} = \sqrt{\frac{\mu_a}{\varepsilon_a}} = W_a,$$

где  $W_a$  - волновое сопротивление пространства.

Таким образом, в геометрикооптическом приближении поле в каждой точке пространства носит характер плоской однородной волны, распространяющейся в направлении  $\vec{L}^0$ .

### 7.4.2. Уравнение луча

Значения  $L = \text{const}$  определяет эквифазную поверхность – фронт волны.

Семейство линий, ортогональных к эквифазным поверхностям, называется лучами.

По определению  $\text{grad } L$  перпендикулярен эквифазной поверхности  $L = \text{const}$ , поэтому направление луча в каждой точке пространства совпадает с направлением  $\text{grad } L$  или  $\vec{L}^0$ .

В общем случае неоднородной среды эквифазные поверхности представляют собой изогнутые поверхности, а лучи – пространственные кривые, т.е. имеет место процесс непрерывного преломления (рефракция) электромагнитной волны.

Выведем уравнение луча, исходя из геометрии, представленной на рис. 7.10., где показана лишь одна координатная ось  $x$ .

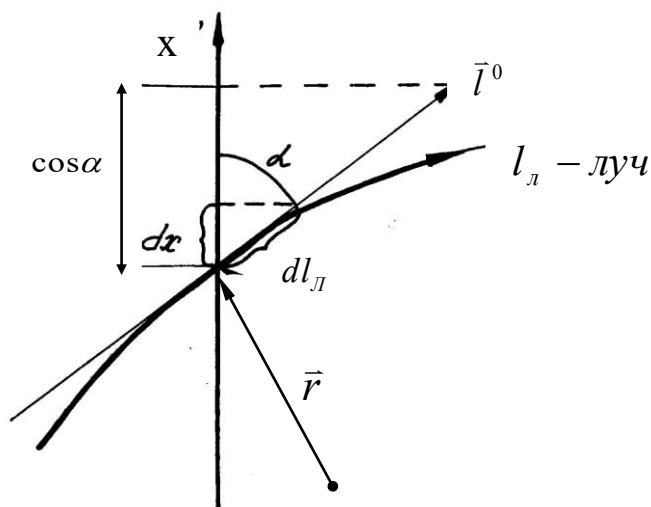


Рис. 7.10. К выводу уравнения луча

Здесь  $\vec{l}^0 = \vec{x}^0 l_x^0 + \vec{y}^0 l_y^0 + \vec{z}^0 l_z^0$  - единичный вектор, касательный к  $l_n$  в каждой точке пространства;  $l_x^0 = \cos \alpha$ ,  $l_y^0 = \cos \beta$ ,  $l_z^0 = \cos \gamma$ , где  $\alpha, \beta, \gamma$  - направляющие углы  $\vec{l}^0$ .

По определению луча  $\vec{l}^0 = \vec{L}^0$ .

$\vec{r} = \vec{x}^0 x + \vec{y}^0 y + \vec{z}^0 z$  - радиус-вектор текущей точки на луче.

Рассмотрим производную :

$$\begin{aligned} \frac{d\vec{r}}{dl_n} &= \vec{x}^0 \frac{dx}{dl_n} + \vec{y}^0 \frac{dy}{dl_n} + \vec{z}^0 \frac{dz}{dl_n} = \\ &= \vec{x}^0 \cos \alpha + \vec{y}^0 \cos \beta + \vec{z}^0 \cos \gamma = \vec{l}^0 = \vec{L}^0 \end{aligned} \quad (7.53)$$

Отсюда уравнение эйконала можно записать в виде :

$$\text{grad } L = n \vec{L}^0 = n \vec{l}^0 = n \frac{d\vec{r}}{dl_n}. \quad (7.54)$$

Дифференцируя (7.54) слева и справа по  $l_n$ , получаем :

$$\begin{aligned} \frac{d}{dl_n} \left( n \frac{d\vec{r}}{dl_n} \right) &= \frac{d}{dl_n} \text{grad } L = \text{grad} \left( \frac{dL}{dl_n} \right) = \\ &= \text{grad} \left( \frac{\partial L}{\partial x} \frac{dx}{dl_n} + \frac{\partial L}{\partial y} \frac{dy}{dl_n} + \frac{\partial L}{\partial z} \frac{dz}{dl_n} \right) = \end{aligned}$$

$$= \text{grad}(\text{grad} L, \vec{l}^0) = \text{grad}(n\vec{L}^0, \vec{l}^0) = \text{grad} n . \quad (7.55)$$

Из приведенных выкладок, в частности, следует, что  $\frac{dL}{dl_{\mathcal{L}}} = n$  или

$dL = n dl_{\mathcal{L}}$ , т.е. элемент длины пути  $dL$  равен элементу геометрического пути вдоль луча  $dl_{\mathcal{L}}$ , умноженному на коэффициент преломления среды  $n$ . В оптике принято  $L$  называть оптической длиной пути.

Таким образом, дифференциальное уравнение луча второго порядка в векторной форме имеет вид:

$$\frac{d}{dl_{\mathcal{L}}} \left( n \frac{d\vec{r}}{dl_{\mathcal{L}}} \right) = \text{grad} n \quad (7.56)$$

В частном случае однородной среды ( $n = \text{const}$ ) имеем:

$$\frac{d^2 \vec{r}}{dl_{\mathcal{L}}^2} = 0 \rightarrow \frac{d\vec{r}}{dl_{\mathcal{L}}} = \text{const}, \text{ т.е.}$$

$$\frac{dx}{dl_{\mathcal{L}}} = \cos \alpha = \text{const}; \quad \frac{dy}{dl_{\mathcal{L}}} = \cos \beta = \text{const}; \quad \frac{dz}{dl_{\mathcal{L}}} = \cos \gamma = \text{const},$$

и луч представляет собой прямую линию.

При этом  $L = n l_{\mathcal{L}}$ , и функция, определяющая изменение фазы поля волны, принимает вид:  $e^{-ik_0 L} = e^{-ik_0 n l_{\mathcal{L}}} = e^{-ik_a l_{\mathcal{L}}}$

### 7.4.3. Радиус кривизны луча

В общем случае уравнение луча (7.56) описывает пространственную кривую, в каждой точке которой можно определить ее радиус кривизны  $\rho$ , являющийся важным параметром при практических расчетах тропосферных линий связи, о которых будет идти речь в следующей главе.

Рассмотрим на луче точки  $a$  и  $b$ , расстояние между которыми  $ab = dl_{\mathcal{L}} \rightarrow 0$  (рис.7.11.).

Единичный вектор  $\vec{l}^0$  в точке  $b$  получает приращение  $d\vec{l}^0$ . Можно

считать, что длина дуги  $ab$   $dl_n = \alpha \rho = \frac{|d\vec{l}^0|}{|\vec{l}^0|} \rho$ , откуда получаем:

$$\rho = \frac{dl_n}{dl^0} . \quad (7.57)$$

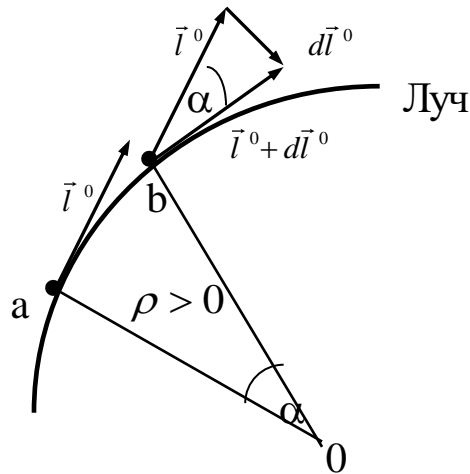


Рис. 7.11. К определению радиуса кривизны луча

Введем векторную характеристику кривизны луча:

$$\vec{K} = \frac{\vec{\rho}^0}{\rho} = \frac{d\vec{l}^0}{dl_n} , \quad (7.58)$$

где единичный вектор  $\vec{\rho}^0$  направлен вдоль  $d\vec{l}^0$  противоположно выпуклости луча, и будем считать  $\rho > 0$ , если выпуклость направлена от центра кривизны в точке  $O$ .

В соответствии с (7.53) перепишем уравнение луча (7.56) в виде  $\frac{d}{dl_n}(n\vec{l}^0) = \text{grad} n$ , и, вычисляя производную слева с учетом, что по

определению  $\frac{dn}{dl_n} = \text{grad} n \vec{l}^0$ , получаем:

$$n \frac{d\vec{l}^0}{dl_n} + \vec{l}^0 (\text{grad} n \vec{l}^0) = \text{grad} n . \quad (7.59)$$

Рассмотрим распространение электромагнитной волны в среде, коэффициент преломления которой зависит лишь от координаты  $z$ , т.е. на поверхности уровня  $z = const$   $n = const$ , а  $grad n = \vec{z}^0 \frac{dn}{dz}$ .

Определим радиус кривизны луча (траектории движения волны) в точке  $q$ , где его направление  $\vec{l}^0$  образует с  $\vec{z}^0$  и с  $grad n$  произвольный угол  $\theta$  (рис. 7.12а.).

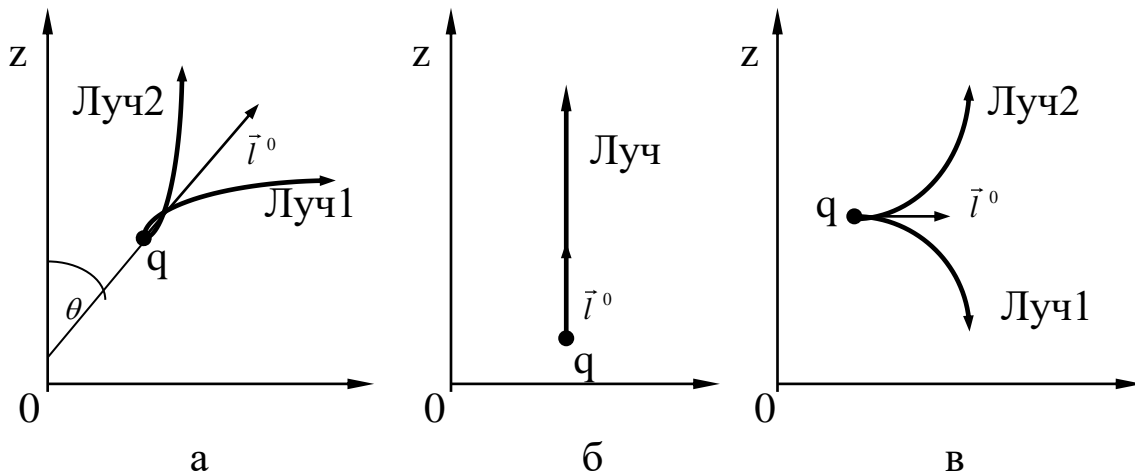


Рис. 7.12. Траектории движения волны.

При этом выражение (7.59) преобразуется к виду:

$$n \frac{d\vec{l}^0}{dl_n} + \vec{l}^0 \frac{dn}{dz} \cos\theta = \vec{z}^0 \frac{dn}{dz}, \text{ откуда}$$

$$\frac{d\vec{l}^0}{dl_n} = \frac{1}{n} \frac{dn}{dz} (\vec{z}^0 - \vec{l}^0 \cos\theta). \quad (7.60)$$

Подставляя (7.60) в (7.58), получаем:

$$\frac{\vec{\rho}^0}{\rho} = \frac{1}{n} \frac{dn}{dz} (\vec{z}^0 - \vec{l}^0 \cos\theta). \quad (7.61)$$

Отсюда, возведя левую и правую части в квадрат, находим:

$$\rho = - \frac{n}{\frac{dn}{dz} \sin\theta}. \quad (7.62)$$

Знак “минус” в (7.62) учитывает, что при  $dn/dz < 0$  (плотность среды уменьшается с ростом  $z$ ) радиус кривизны  $\rho > 0$  (луч 1), а при  $dn/dz > 0$  (плотность среды увеличивается с ростом  $z$ ) радиус кривизны  $\rho < 0$  (луч 2).

Если луч идет вдоль положительного направления оси  $z$  ( $\theta = 0$ ) перпендикулярно поверхности уровня  $z = const$ , то из (7.62) находим, что в любом случае ( $dn/dz < 0$ , либо  $dn/dz > 0$ , либо  $n = const$ )  $\rho = \infty$ , т.е. луч представляет собой прямую линию, параллельную оси  $Z$  (рис.7.12б). Если луч идет вдоль отрицательного направления оси  $Z$  ( $\theta = 180^\circ$ ), то аналогично получаем  $\rho = \infty$ .

Если луч идет вдоль поверхности уровня  $z = const$  ( $\theta = 90^\circ$ ), то радиус кривизны определяется выражением  $\rho = -\frac{n}{\frac{dn}{dz}}$ . В этом случае,

если  $dn/dz < 0$ , то  $\rho > 0$  (луч 1), а если  $dn/dz > 0$ , то  $\rho < 0$  (луч 2) (рис.7.12в).

Для протяженных тропосферных линий связи (см. раздел 8.3.2.), полагая, что  $n \approx 1$ ,  $\theta \approx 90^\circ$ , радиус кривизны луча можно рассчитывать по формуле:

$$\rho = -\frac{1}{\frac{dn}{dz}}. \quad (7.63)$$

#### 7.4.4. Принцип Ферма

Уравнение эйконала (7.51) проинтегрируем слева и справа по произвольной кривой  $l$  между точками  $A$  и  $B$  (рис. 7.13.):

$$\int_l grad L d\vec{l} = \int_l n \vec{L}^0 d\vec{l} \quad (7.64)$$

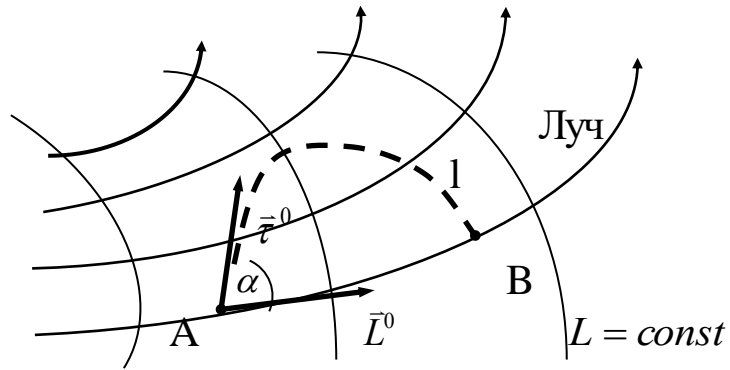


Рис. 7.13. К выводу принципа Ферма

С учетом того, что

$$\text{grad } L = \bar{x}^0 \frac{\partial L}{\partial x} + \bar{y}^0 \frac{\partial L}{\partial y} + \bar{z}^0 \frac{\partial L}{\partial z},$$

$$\text{а } d\bar{l} = \bar{x}^0 dx + \bar{y}^0 dy + \bar{z}^0 dz,$$

вычисление интеграла слева дает:

$$\int_l \text{grad } L d\bar{l} = \int_l \left( \frac{\partial L}{\partial x} dx + \frac{\partial L}{\partial y} dy + \frac{\partial L}{\partial z} dz \right) = \int_A^B dL = L(B) - L(A). \quad (7.65)$$

Таким образом, интеграл слева не зависит от формы пути  $l$ .

Интеграл справа

$$\int_l n \bar{L}^0 d\bar{l} = \int_l n \bar{L}^0 \bar{\tau}^0 dl = \int_l n \cos \alpha dl, \quad (7.66)$$

где  $\alpha$  - угол между направлением луча и единичным вектором касательной  $\bar{\tau}_0$  к пути интегрирования  $l$ .

Приравнявая (7.65) и (7.66), получаем:

$$\int_l n \cos \alpha dl = L(B) - L(A) \quad (7.67)$$

Если путь интегрирования совпадает с направлением луча ( $\alpha = 0$ ), то

$$\int_{l_n} n dl = L(B) - L(A) \quad (7.68)$$

Этот интеграл называется оптической длиной пути вдоль луча.

Из (7.68) следует, что оптическая длина пути вдоль луча между двумя эквифазными поверхностями всегда одна и та же, хотя геометрические длины пути могут быть различными (рис. 7.14.).

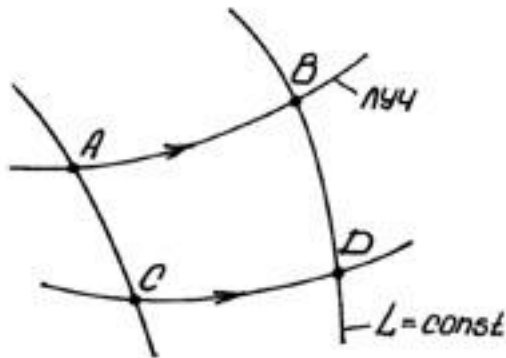


Рис. 7.14. Оптические и геометрические длины пути между эквифазными поверхностями

Из формул (7.67), (7.68) вытекает равенство

$$\int_{l_{opt}} n dl = \int_l n \cos \alpha dl,$$

которое с учетом, что  $\cos \alpha \leq 1$ , преобразуется в соотношение:

$$\int_{l_{opt}} n dl \leq \int_l n dl. \quad (7.69)$$

Это неравенство выражает широко используемый в оптике принцип Ферма, который гласит, что оптическая длина пути между двумя точками пространства минимальна, если путь идет по лучу.

\* \* \*

В заключение кратко обозначим границы применимости метода геометрической оптики при решении задач дифракции и рефракции.

1. Метод можно применять, если параметры среды  $\varepsilon$ ,  $\mu$  и амплитуда поля мало изменяются на расстояниях, равных длине волны в среде.

2. Метод можно применять, если кривизна поверхности объекта и фронта падающей волны мало меняются на расстоянии, равном длине волны, т.е. рассматриваемый случай близок к задаче о падении плоской волны на бесконечную плоскость.

3. Метод не применим в зоне тени, где геометрическая оптика дает чистый ноль поля, и в области полутени, где она дает разрыв поля на границе “свет – тень”.